

РАСПИРЕНИЕ ГАЗОВОЙ ПОЛОСТИ В НЕСЖИМАЕМОЙ  
УПРУГО-ПЛАСТИЧЕСКОЙ СРЕДЕ  
(К ИЗУЧЕНИЮ ДЕЙСТВИЯ ВЗРЫВА НА ГРУНТ)

E. И. Шемякин

(Новосибирск)

Рассматривается задача о расширении сферической полости в упруго-пластической среде. Результаты, приведенные в статье, позволяют оценить радиусы зон ожидаемых разрушений грунта при подземном взрыве.

1. Рассмотрим центрально-симметричную задачу для полей напряжений и скоростей, возникающих при расширении сферической полости под действием внутреннего давления в несжимаемой упруго-пластической среде. Скорость частиц среды  $u(r, t)$  направлена по радиусу из центра полости; поле напряжений  $\sigma_r, \sigma_\phi = \sigma_\theta$  является главным.

Состояние среды характеризуется следующим образом:

- Объемные деформации отсутствуют, т. е.  $\varepsilon = 0$  при нагрузке и при разгрузке, начальная плотность среды не меняется.
- В упругой области главное касательное напряжение и деформация сдвига  $\gamma$  (главный сдвиг) связаны законом Гука

$$\tau = \mu\gamma, \quad \mu = \text{const} \quad (\mu — \text{модуль сдвига}) \quad (1.1)$$

По достижении деформацией сдвига предельного упругого значения  $\gamma_e$  (для упругих сред величина  $\gamma_e \approx 10^{-2} — 10^{-4}$ ) начинается пластическое течение материала. Если разгрузка начинается при некотором  $\gamma' > \gamma_e$ , т. е. в пластической области, то при разгрузке считается справедливым закон Гука

$$\tau - \tau' = \mu(\gamma - \gamma'), \quad \tau' = \mu\gamma' \quad (1.2)$$

с) В пластической области главные напряжения  $\sigma_r$  и  $\sigma_\phi$  связаны условием пластичности. В общем случае для центрально-симметричного поля напряжений условие пластичности можно записать в виде [1]

$$\sigma_\phi - \sigma_r = f(I_1, I_3) \quad (1.3)$$

где  $f(I_1, I_3)$  — некоторая функция первого и третьего инвариантов тензора напряжений. Напомним, что  $\sigma_\phi - \sigma_r = 2\tau$ , а главное касательное напряжение  $\tau$  имеет порядок второго инварианта тензора напряжений

$$\tau \approx I_2$$

Таким образом, условие (1.3) определяет некоторую связь всех трех инвариантов тензора напряжений.

Обычно условие (1.3) упрощают и пользуются для оценок одним из простых условий пластичности:

- $\sigma_\phi - \sigma_r = 2\tau_s = \text{const}$  — условие идеальной текучести.
- $\sigma_\phi - \sigma_r = k + m(\sigma_r + 2\sigma_\phi)$  — условие Прандтля.

Последнее условие для сыпучих сред определяет при постоянных  $k$  и  $m$  линейную связь между главными напряжениями  $\sigma_r$  и  $\sigma_\phi$ .

Примем в дальнейшем в качестве основного в рассматриваемой задаче условие идеальной текучести

$$\sigma_\varphi - \sigma_r = 2\tau_s \quad (1.4)$$

Это условие пластичности определяет некоторый согласованный закон изменения компонент  $\sigma_r$  и  $\sigma_\varphi$  тензора напряжений с расстоянием, поэтому при решении задачи можно ограничиться изучением поведения  $\sigma_r$ .

2. Пусть в момент времени  $t = 0$  в среде, механические свойства которой описаны в п. 1, начинает расширяться сфера радиуса  $R_0(t)$  под действием внутреннего давления

$$p_0 = p_{00} \left( \frac{R_0'}{R_0} \right)^{3n} \quad (2.1)$$

созданного газообразными продуктами взрыва,  $R_0'$  — первоначальный радиус газовой полости (радиус заряда),  $p_{00}$  и  $n$  — постоянные [2]

$$p_{00} = 1.2 \cdot 10^4 \text{ atm}, \quad n = 1.25 \quad (2.2)$$

Движение среды описывается уравнением

$$\frac{\partial \sigma_r}{\partial r} + 2 \frac{\sigma_r - \sigma_\varphi}{r} = \rho \frac{\partial u}{\partial t} + \rho u \frac{\partial u}{\partial r} \quad (2.3)$$

Здесь  $r$  — координата,  $\rho$  — плотность.

Уравнение неразрывности

$$\frac{\partial u}{\partial r} + 2 \frac{u}{r} + \frac{1}{\rho} \frac{dp}{dt} = 0$$

вследствие предположения  $\rho = \text{const}$  допускает известный интеграл

$$u = \frac{\lambda(t)}{r^2} \quad (2.4)$$

Здесь  $\lambda(t)$  — некоторая произвольная функция времени.

В пластической области уравнение движения (2.3) можно проинтегрировать (при этом в (2.3) подставляется  $u$  из (2.4) и учитывается условие пластичности (1.4))

$$\sigma_{rp} = 4\tau_s \ln r - \frac{\rho \lambda_p}{r} + \frac{\rho \lambda_p^2}{2r^4} + C(t) \quad (2.5)$$

где  $C(t)$  — произвольная функция<sup>1</sup>.

В упругой области (среда несжимаемая, но допускает упругие сдвиги) напряжения и деформации связаны соотношениями

$$\sigma_{re} = -p + 2\mu \frac{\partial w}{\partial r}, \quad \sigma_{\varphi e} = -p + 2\mu \frac{w}{r} \quad (2.6)$$

Здесь  $p(r, t)$  — гидростатическое давление, равное

$$-3p = \sigma_{re} + 2\sigma_{\varphi e}$$

а  $w(r, t)$  — упругое перемещение, деформации  $\partial w / \partial r$  и  $w / r$  считаются малыми в упругой области.

После элементарных преобразований уравнение движения (2.3) к функции  $p(r, t)$  с учетом интеграла (2.4) для упругой области и интегрирования (2.3) в упругой области можно определить гидростатическое давление

$$-p = -\frac{\rho \dot{\lambda}_e^2}{r} + \frac{\rho \lambda_e^2}{2r^4} + C_1(t) \quad (2.7)$$

<sup>1</sup> Индексы  $p$  и  $e$  здесь и в дальнейшем используются для обозначений величин, относящихся к пластической и упругой областям соответственно. Точка означает дифференцирование по времени.

Здесь  $\lambda_e(t)$ ,  $C_1(t)$  — также произвольные функции времени.

Система четырех произвольных функций должна быть определена при помощи следующих краевых условий.

1) На границе расширяющейся полости при  $r = R_0(t)$  имеем

$$u_p(R_0) = \dot{R}_0, \quad -\sigma_r(R_0) = p_0 \quad (2.8)$$

2) На «фронт» пластической волны при  $r = R(t)$ , т. е. на границе упругой и пластической областей, должны быть учтены аналогичные условия

$$-p = \sigma_r + \frac{4}{3} \tau_s, \quad u_p(R) = u_e(R) \quad (2.9)$$

Из последнего условия сразу же следует

$$\lambda_p = \lambda_e \equiv \lambda(t)$$

Кроме того, для интеграла (2.7) должно быть поставлено условие  $p \rightarrow p_h$  при  $r \rightarrow \infty$ . Будем считать  $p_h$  постоянной величиной, о выборе ее значений при проведении оценок будет упомянуто ниже.

3. Согласно условию на бесконечности полагаем в (2.7)  $C_1(t) = p_h$ , что позволяет в свою очередь определить  $C(t)$  при помощи первого из условий (2.9). Так что

$$\sigma_{rp} = 4\tau_s \ln \frac{r}{R} - \frac{4}{3} \tau_s - \frac{\rho \lambda^2}{r} + \frac{\rho \lambda^2}{2r^4} - p_h \quad (3.1)$$

Если учесть условия (2.8), то можно получить простое уравнение для неизвестной в задаче функции  $R_0(t)$

$$R_0 \ddot{R}_0 + \frac{3}{2} \dot{R}_0^2 = \frac{p_{00}}{\rho} \left( \frac{R_0'}{R_0} \right)^{3n} - \frac{4}{3} \frac{\tau_s}{\rho} \left[ \ln \left( \frac{R}{R_0} \right)^3 + 1 \right] - \frac{p_h}{\rho} \quad (3.2)$$

Введем безразмерные переменные

$$y = \frac{\rho}{p_{00}} \dot{R}_0^2, \quad x = \frac{R_0}{R_0'} \quad (3.3)$$

и будем считать, что

$$y|_{x=1} = V^2 \quad \text{при } x = 1, \quad V = \text{const}$$

Из (3.2) следует уравнение для  $y(x)$

$$y' + 3 \frac{y}{x} = \frac{2}{x} \left\{ x^{-3n} - \frac{4}{3} \frac{\tau_s}{p_{00}} \left[ \ln \left( \frac{R}{R_0} \right)^3 + 1 \right] - \frac{p_h}{p_{00}} \right\} \quad (3.4)$$

которое будет основным в задаче. В самом деле, если будет найден интеграл  $y(x)$ , можно найти распределение напряжений и скоростей в среде, в частности и на фронте пластической волны при  $r = R(t)$ .

Так, например, зависимость нормального напряжения  $\sigma_r(R)$  от  $x$  представляется в виде

$$-\frac{\sigma_r(R)}{p_{00}} = \frac{4\tau_s}{3p_{00}} + \frac{R_0}{R} \left[ x^{-3n} - \frac{4A\tau_s}{3p_{00}} + \frac{y(x)}{2} B \right] + \frac{p_h}{p_{00}} \left( 1 - \frac{R_0}{R} \right) \quad (3.5)$$

Здесь

$$A = \ln \left( \frac{R}{R_0} \right)^3 + 1, \quad B = 1 - \left( \frac{R_0}{R} \right)^3$$

Из уравнения (3.4) можно определить радиус полости для статической задачи; давление  $p_{00}$  прилагается к стенкам полости не скачком, а весьма медленно. В этом случае

$$x_0 = \left( \frac{4A\tau_s}{3p_{00}} + \frac{p_h}{p_{00}} \right)^{-\frac{1}{3n}}$$

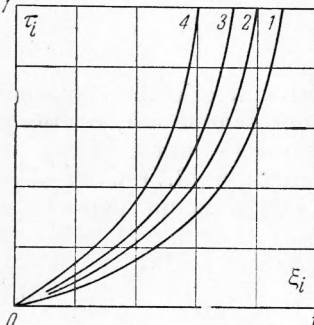
4. Воспользуемся конкретным свойством диаграммы  $\tau - \gamma$ , позволяющим выполнить элементарное интегрирование уравнения (3.4).

Как было отмечено выше, пластическое течение материала наступает по достижении деформацией сдвига  $\gamma$  значения  $\gamma_e$ . Для того чтобы определить  $\gamma(r, t)$ , необходимо знать явное описание перемещения  $w(r, t)$ .

Перемещение точки, имеющей координату  $r$  до деформации, можно найти из условия несжимаемости материала

$$w(r, t) = (r^3 + R_0^3 - R_0'^3)^{1/3} - r \quad (4.1)$$

При  $r \gg R_0$ , что имеет место в окрестности фронта пластической волны на значительном участке его движения, перемещение  $w$  можно приближенно описать выражением



Фиг. 1

$$w(r, t) \approx \frac{R_0^3}{3r^2} (1 - x^{-3}) \quad (4.2)$$

При помощи (4.1) можно вычислить главный сдвиг

$$\gamma = \frac{w}{r} - \frac{\partial w}{\partial r} + \frac{1}{2} \left( \frac{w}{r} \right)^2 - \frac{1}{2} \left( \frac{\partial w}{\partial r} \right)^2$$

так что

$$\gamma = z \frac{1 + \frac{1}{2} z}{(1 + z)^{1/3}}, \quad z = \left( \frac{R_0}{r} \right)^3 (1 - x^{-3}) \quad (4.3)$$

Следует отметить, что при  $r/R_0 > 1 > 1/x$  можно определить главный сдвиг при помощи простой аппроксимации

$$\gamma = \ln(1 + z) \quad (4.4)$$

Имея в виду применение (4.3) к области, в которой  $\gamma \ll 1$ , будем пользоваться простым описанием  $\gamma$ , следующим из (4.3) и, естественно, из (4.4)

$$\gamma \approx z \quad (4.5)$$

На фронте пластической волны  $\gamma = \gamma_e$ , отсюда просто определяется связь  $R_0, R_0', R$

$$\left( \frac{R_0}{R} \right)^3 (1 - x^{-3}) = \gamma_e \quad (4.6)$$

Подставим в правую часть (3.4) отношение  $R_0/R$  из (4.6) и выполним интегрирование; в результате получим

$$\frac{y(x)}{2} = Ex^{-3} - \frac{x^{-3n}}{3n-3} - \frac{4\tau_s}{9p_{00}} \left[ A' + \frac{x^3-1}{x^3} \ln(x^3-1) - \ln x^3 \right] \frac{-p_h}{3p_{00}} \quad (4.7)$$

где

$$A' = \ln \frac{1}{\gamma_e} + 1, \quad E = \frac{V^2}{2} + \frac{1}{3n-3} + \frac{4A'\tau_s}{9p_{00}} + \frac{p_h}{3p_{00}}$$

Так как  $\gamma_e \approx 10^{-3}$ , то в выражении для  $A'$  главным будет логарифмический член; исследование остальных слагаемых в квадратной скобке в (4.7) показывает, что ими можно пренебречь при всех  $x \ll 1$  по сравнению с единицей. Это позволяет пользоваться в дальнейшем более простыми формулами

$$\frac{y(x)}{2} = Ex^{-3} - \frac{4}{3} x^{-3.75} - \frac{4A'\tau_s}{9p_{00}} - \frac{p_h}{3p_{00}} \quad (B \approx 1) \quad (4.8)$$

$$-\frac{\sigma_r(R)}{p_{00}} = \frac{4\tau_s}{3p_{00}} \left( 1 - \frac{4A'R_0}{3R} \right) + \frac{R_0}{R} \left( Ex^{-3} - \frac{4}{3} x^{-3.75} - \frac{4}{3} \frac{p_h}{p_{00}} \right) + \frac{p_h}{p_{00}}$$

5. Для применения результатов к расчетам необходимо в (4.8) определить постоянные  $\tau_s$ ,  $\gamma_e$ ,  $V^2$  и  $\rho$ ; в этом заключается определенная трудность, так как  $\tau_s$  и  $\gamma_e$ , а вместе с ними и  $V^2$  являются идеализированными характеристиками грунта и непосредственными измерениями определены быть не могут.

Будем считать, что из опыта известны:

1) максимальный радиус газовой полости, образующейся в грунте при камуфлетном взрыве (радиус полости в момент ее остановки);

2) величина скорости распространения поперечных волн (волны сдвига) в среде и плотность грунта  $\rho$ .

Если принять, что радиус газовой полости в момент ее остановки  $x = x_1$  совпадает с радиусом полости, наблюдаемым в грунтах после опыта, то  $x_1$  просто связать с характеристикой грунта при взрывах, названной  $\vartheta$  — показателем простреливания

$$x_1 = \left( \frac{R_0}{R_0'} \right)_{\max} = \vartheta^{1/s} = \left( \frac{v_{\max}}{v_0} \right)^{1/s} \quad (5.1)$$

Здесь  $v_0$  — объем полости (сферического заряда) в начальный момент,  $v_{\max}$  — объем полости при камуфлетном взрыве, наблюдаемый после опыта.

Связем работу расширения полости продуктами взрыва с потенциальной энергией деформаций в момент остановки полости.

Работа газов, расширяющихся по закону (2.1), описывается выражением

$$U = \int_{v_0}^{v_{\max}} p_0 dv = 4v_0 p_{00} \left[ 1 - \left( \frac{v_0}{v_{\max}} \right)^{0.25} \right] \quad (5.2)$$

Потенциальная энергия деформации частицы в упругой области равна  $\frac{1}{2} \mu \gamma^2$ , где  $\gamma$  определена формулой (4.5). Тогда в упругой области потенциальная энергия деформаций сдвига равна

$$\Pi_e = \frac{1}{2} \tau_s v_{\max} (1 - x^{-3}) \quad (5.3)$$

Потенциальная энергия деформаций в пластической области ( $R_0 < r < R$ ) запасена как упруго (так как каждая частица нагружена упруго до предела  $\gamma = \gamma_e$ ), так и в виде пластических деформаций. Если принять всюду  $\gamma$  согласно (4.5), что приближенно справедливо, так как в момент остановки полости зона больших деформаций должна быть невелика, то можно вычислить  $\Pi_p$ , так как  $\Pi_p$  для частицы равна

$$\frac{1}{2} \mu \gamma_e^2 + \tau_s \gamma$$

а для всей области

$$\begin{aligned} \Pi_p = \tau_s v_{\max} (1 - x^{-3}) \left\{ \ln \left( \frac{R}{R_0} \right)^3 + \frac{1}{2} \left[ 1 - \left( \frac{R_0}{R} \right)^3 \right] \right\} \approx \\ \approx \tau_s v_{\max} (1 - x^{-3}) \left[ \ln \left( \frac{R}{R_0} \right)^3 + 1 \right] \end{aligned} \quad (5.4)$$

При выводе приближенной формулы (5.4) пренебрегаем малыми величинами по сравнению с единицей<sup>1</sup>.

<sup>1</sup> При выводе (5.4), имея в виду интегрирование по всей области пластического течения, можно для  $\gamma$  взять более точное представление, чем (4.5), а именно  $\gamma = \ln(1 + z)$  из (4.4). В этом случае после выполнения интегрирования можно сделать очевидные приближения, которые снова приводят к (5.4), что повышает достоверность этой формулы.

Приравнивая (5.2) сумме  $\Pi_e + \Pi_p$ , получаем зависимости между параметрами  $A'\tau_s/p_{00}$  и  $x_1$

$$\frac{A'\tau_s}{p_{00}} = 4 \frac{1 - x_1^{-0.75}}{x_1^3 - 1}, \quad \text{или} \quad \frac{A'\tau_s}{p_{00}} = 2.5x_1^{-3} \quad (5.5)$$

Формулы (5.3) и (5.4) позволяют дать оценку отношения энергии, затраченной при взрыве на необратимые деформации грунта и запасенной в виде упругих деформаций

$$\frac{\Pi_e}{\Pi_p} \approx \frac{1}{-2 \ln \gamma_e + 1} = N \quad (5.6)$$

На основе сейсмических данных можно указать весьма ориентировочно порядок величины  $N$ ; для грунтов типа известняк, глина ломовая  $N \approx 5\%$ . Если принять это в качестве предположения и задать сетку значений  $N$ , то из (5.6) можно найти соответствующие значения  $\gamma_e$ , не обращаясь ко второму условию, которое было указано выше,— к величине скорости распространения поперечных волн.

Величина  $N$  для грунтов, вообще говоря, неизвестна (порядок этой величины в опытах можно оценить по энергии продольных и поперечных волн, хотя в проведенных здесь рассуждениях участвуют фактически только последние); поэтому оценка этой величины представляет интерес.

После того как величина  $A'\tau_s/p_{00}$  определена, можно найти величину  $E$  в (4.8); так как в момент остановки полости имеем  $y(x_1) = 0$  и, следовательно

$$E = \frac{4}{9(1-x_1^{-3})} (4 - 3x_1^{-3.75} - x_1^{-0.75}) + \frac{p_h x_1^3}{3p_{00}} \quad (5.7)$$

Подставим значение  $n = 1.25$  в адиабате Джонса для тротила из (2.2). Далее

$$V^2 = y(1) = \frac{8}{9}(1 - x_1^{-0.75}) + \frac{2p_h}{3p_{00}}(x_1^3 - 1) \quad (5.8)$$

Таким образом, зависимость безразмерной скорости стенки полости от безразмерного радиуса полости будет определяться формулой

$$\frac{y(x)}{2} = Ex^{-3} - \frac{4}{3}x^{-3.75} - \frac{16}{9} \frac{1 - x_1^{-0.75}}{x_1^3 - 1} - \frac{p_h}{3p_{00}} \quad (5.9)$$

Для определения поля напряжений и, в первую очередь, функции  $\sigma_r(R)$  необходимо знать величину  $\gamma_e$ , чтобы определить  $R_0/R$  и  $\tau_s/p_{00}$ .

Как было принято выше, считаем заданной для рассматриваемого грунта скорость поперечных волн  $V_s$  и плотность грунта  $\rho$ . Известно, что  $\rho V_s^2 = \mu$ , где  $\mu = \tau_s/\gamma_e$  — модуль сдвига.

Тогда (5.5) для определения  $\gamma_e$  дает трансцендентное уравнение, которое можно решить графически

$$\ln \frac{1}{\gamma_e} + 1 = \frac{D}{\mu}, \quad D = \frac{4p_{00}}{\mu} \frac{1 - x_1^{-0.75}}{x_1^3 - 1} \quad (5.10)$$

Этим заканчивается определение параметров задачи через опытные данные  $x_1$ ,  $\rho$  и  $V_s$ , так как последняя, подлежащая определению, величина — идеализированная характеристика пластичности  $\tau_s$  — может быть определена либо из соотношения  $\tau_s = \mu\gamma_e$ , либо из (5.5).

Способ выбора параметров, приведенный выше, отнюдь не является единственным. Об одном отклонении от такого пути выбора было сказано при введении термина  $N$  — отношения долей упругой и пластической энергии.

Кроме того, следует отметить, что параметры среды  $\gamma_e$ ,  $\tau_s$  не зависят от величины  $p_h$ , что является естественным, а параметры движения зависят от  $p_h$ . Это позволяет выбрать  $\gamma_e$  и  $\tau_s$  на основании опытных данных о величинах  $x_1$  и  $V_s$ , полученных в условиях, когда  $p_h$  можно считать равным нулю. При дальнейших же оценках параметров движения  $u$ ,  $\sigma_r$ ,  $\sigma_\phi$  и величины  $x_1$  можно ввести  $p_h$ , отвечающее глубине центра камуфлетного заряда, и в этом случае воспользоваться значениями  $\gamma_e$  и  $\tau_s$ , определенными при  $p_h = 0$ .

6. Приведем в качестве примера расчет поля напряжений для четырех типов сред с характеристиками (табл. 1).

В табл. 2 приведены рассчитанные идеализированные характеристики грунта  $\gamma_e$ ,  $\tau_s$  и некоторые вспомогательные величины:  $\mu$  — модуль сдвига,  $R_1/R_0'$  — максимальный безразмерный радиус зоны пластических деформаций, величина  $N$ , а также  $R_0(1)$ .

Таблица 1

	$x_1$	$\rho, \frac{\text{с}^2}{\text{см}^3}$	$V_s, \frac{\text{м}}{\text{сек}}$	
(1)	8	1.8	300	лесс
(2)	5	2.2	800	глина
(3)	3.5	2.4	1500	песчаник
(4)	2.5	2.7	2500	скотла

Таблица 2

	$\mu, \frac{\text{кг}}{\text{см}^2}$	$\tau_s, \frac{\text{кг}}{\text{см}^2}$	$\gamma_e \cdot 10^2$	$R_1/R_0'$	$N, \%$	$R_0(1), \frac{\text{м}}{\text{сек}}$
(1)	$1.65 \cdot 10^3$	12.7	0.77	40	9	670
(2)	$1.44 \cdot 10^4$	39.0	0.28	36	8	577
(3)	$5.50 \cdot 10^4$	95.0	0.17	30	7	514
(4)	$1.73 \cdot 10^5$	215.0	0.124	23	7	440

Как было отмечено выше, в расчетах было положено  $p_h = 0$  и считалось, что  $x_1$  — радиус полости в момент ее первой остановки. В действительности же, по-видимому, полость после остановки может совершить слабое возвратное движение к положению равновесия за счет энергии упругих деформаций.

При описании разгрузки можно считать, что снятие напряжений, отвечающих упругим деформациям, происходит по закону (2.6), где  $p$  описывается интегралом (2.7), и что при сжатии продукты взрыва описываются прежней изэнтропией с  $n = 1.25$ .

Тогда можно оценить величину радиуса полости  $x_2$  после первого возвратного движения (момент остановки полости при сжатии) по формуле

$$y(x) = \frac{8}{9} \left[ (z - 1) \frac{\tau_s + \frac{3}{4} p_h}{3 p_{00}} - (z^{1.25} - z) x_1^{-3.75} \right] \quad (z = \left[ \frac{x_1}{x} \right]^3) \quad (6.1)$$

а для определения  $x_2$  следует положить  $y = 0$ . При этом, кроме очевидного корня  $x = x_1$ , следует найти ближайший корень уравнения  $y(x) = 0$ , лежащий справа от точки  $z = 1$ .

Так, для среды (3) величина  $x_2 = 3.1$ . Это означает, что истинное значение радиуса котловой полости  $x = X$  оценивается неравенствами  $3.1 < X < 3.5$ .

Из формулы для определения  $x_2$  следует, что горное давление  $p_h$  оказывает существенное влияние на возвратное движение, если оно по величине сравнимо с величиной  $\tau_s$ .

Если в формуле (5.9) ввести  $p_h \neq 0$ , то легко видеть, что горное давление слабо влияет на изменение поля скоростей и поля напряжений при  $r \geq R$ . Выше было принято  $p_h = \text{const}$ ; так например, в условиях взрыва на выброс  $p_h$  можно принять равным горному давле-

нию на глубине центра заряда, что, по-видимому, должно дать оценку наибольшего влияния силы тяжести. Как следует из (5.9), влияние силы тяжести на развитие пластической зоны становится заметным, если  $p_h$  приблизительно на порядок превосходит  $\tau_s$ . Отсюда следует, в свою очередь, что влияние силы тяжести на образование котловой полости

в прочных породах (типы (3), (4)) наступает на глубинах, приблизительно на порядок больших, чем в мягком грунте типа лёссовидных суглинков (табл. 2).

Конкретные оценки можно получить при помощи (5.9), если задать величину  $p_h$  и затем определить  $x_{1h}$  из условия  $y(x_{1h}) = 0$ . Очевидно, что  $x_{1h} < x_1$ .

В реальных грунтах уменьшение котловой полости при взрывах на различной глубине проявляется, по-видимому, не за счет влияния силы тяжести, а главным образом за счет увеличения прочности породы с глубиной  $h$ ; в нашей схеме за счет увеличения  $\tau_s$ .

На фиг. 1 приведены графики, иллюстрирующие развитие газовой полости во времени: по оси абсцисс отложены величины  $\xi_i = (x_1 - 1)/x_{1i}$ ,  $i = 1, 2, 3, 4$ , а по оси ординат  $\tau_i = t / t_{1i}$ , где  $t_{1i}$  — время остановки полости. Результаты расчета позволяют дать приближенную формулу, связывающую характеристику грунта  $x_{1i}$  и время развития полости  $t_{1i}$

$$\frac{t_{1i}}{R_0'} = 1.4 x_1^2 \quad (t_{1i} - \text{мсек}, R_0' - \text{м}) \quad (6.2)$$

На фиг. 2 указаны зависимости  $\sigma_r(R) / p_{00}$  для четырех типов грунта, рассчитанные по формуле (5.9) — сплошные кривые и по формуле (4.8) — пунктирные кривые. Эти зависимости указаны в двойном логарифмическом масштабе и внутри пластической области допускают приближенные представления в виде

$$\frac{\sigma_r}{p_{00}} = \frac{K_i}{(R/R_0)^3} \quad \text{или} \quad \frac{\sigma_r}{\tau_s} = \frac{K_i^\circ}{(R/R_0')^3} \quad (6.3)$$

где  $K_i$  и  $K_i^\circ$  — безразмерные постоянные:  $K_i = 38.5, 63.8, 80.0, 101.0$ ;  $K_i^\circ = 3.64 \cdot 10^4, 1.96 \cdot 10^4, 1.01 \cdot 10^4, 0.56 \cdot 10^4$  в порядке возрастания  $i = (1), (2), (3), (4)$ .

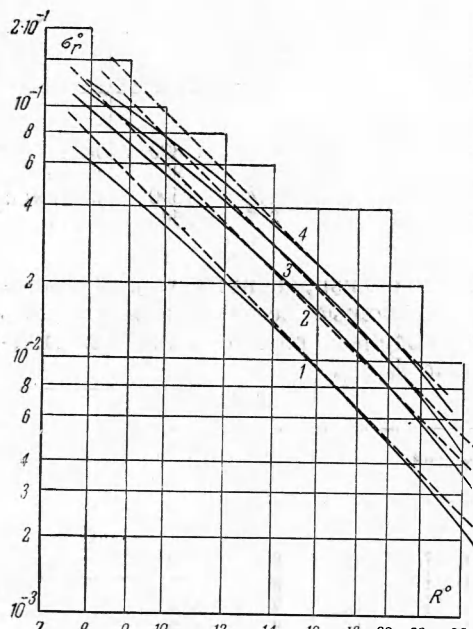
Обработка расчетных данных позволяет указать зависимость

$$K_i = 1.2 \cdot 10^3 x_{1i}^{5/3} \quad (6.4)$$

с удовлетворительной точностью описывающую все четыре типа «грунтов»;  $x_{1i}$  связано с параметрами среды формулой (5.5).

Окончательно

$$\frac{\sigma_r(R)}{\tau_s} = \frac{1.2 \cdot 10^3 x_{1i}^{5/3}}{(R/R_0)^3} \quad (6.5)$$



Фиг. 2

Приводим графики изменения  $\sigma_r(R)/\tau_s$  и  $\sigma_\phi(R)/\tau_s$  в зависимости от  $R/R_0$ . Эти графики являются типичными для рассматриваемого в задаче условия пластичности и приведены только для одной среды — среды (3) (фиг. 3).

Как следует из этих зависимостей, на расстояниях  $< 5R_0'$   $\sigma_r \approx \sigma_\phi$ , так как  $\sigma_r$  и  $\sigma_\phi$  по абсолютной величине превосходят  $\tau_s$ . Это позволяет считать, что напряженное состояние грунта близко к гидродинамическому. Так как элемент грунта испытывает в этой зоне всестороннее сжатие, то единственный тип разрушения, который следует ожидать в этой зоне, — это разрушение за счет раздавливания.

На расстояниях  $\sim 5-14 R_0'$   $\sigma_r$  и  $\sigma_\phi$  остаются сжимающими, но здесь их следует различать, так как по абсолютной величине они сравнимы с  $\tau_s$ . В этой зоне разрушения могут и не произойти, так как сжимающие напряжения упали, а растягивающих напряжений нет.

Наконец, начиная с расстояний  $\sim 14 R_0'$ , напряжение  $\sigma_\phi$  обращается в нуль и затем становится растягивающим, в то время как  $\sigma_r$  уменьшается и остается сжимающим. В этой зоне могут образоваться (или раскрыться) радиальные трещины. Ориентировочно можно оценить зону радиальных трещин радиусом зоны пластических деформаций. Но при этом следует помнить, что вследствие непрерывности напряжений на границе с упругой зоной  $\sigma_\phi > 0$  могут реализоваться и в упругой зоне вблизи границы с пластической зоной.

Указанные качественные закономерности вполне согласуются с описанием разрушений в ближней зоне подземного взрыва, приведенным в [3].

Отметим, что влияние горного давления на картину разрушений в ближней зоне может проявиться, по-видимому, в том, что преимущественное развитие могут получить радиальные трещины в вертикальных плоскостях.

В заключение статьи сделаем два замечания. Во-первых, при описании различных типов «грунта» пренебрегалось объемной сжимаемостью и изменением сжимаемости, которые могут привести к существованию пластической волны сжатия с ударным характером нагружения (например, в мягких грунтах типа лесс, глина). Во-вторых, условие пластичности в области высоких деформаций сдвига вплоть до разрушения было взято в простейшем виде. Эти ограничения, по нашему мнению, могут исказить поле напряжений, существующее в реальных грунтах в ближней зоне взрыва, но вряд ли приведут к существенным искажениям в описании процесса развития полости.

Поступила 9 V 1961

#### ЛИТЕРАТУРА

1. Качанов Л. М. Основы теории пластичности М., 1956.
2. Коул Р. Подводные взрывы. М., ИИЛ, 1950.
3. Покровский Г. И., Федоров И. С. Действие удара и взрыва в деформируемых средах. М., 1957.